

# II-39 入江の狭さく感潮水路部の水理計算

琉球大学 理工学部 正員 河野二夫

開発庁那霸港工事事務所 照屋朝和

## 1) はじめに

沖縄県宮古島の嘉手苅入江の潮汐変動について、河口の潮汐を調和分解した結果を境界条件とし解析した。また岡本博士の理論解の適用性について考察した。最後に入江橋での流速変動を計算し、実測値と比較した。図-1で海から入江橋までは約0.8kmの自然水路(幅約30m)で入江橋で狭窄し上流は遊水池にならんでいる。



## 2) 水路部水理計算

運動方程式と連続方程式は各々次式になる。<sup>1)</sup> (図-2を参照)

$$\frac{\partial u}{\partial t} + (u - u_0) \frac{\partial u}{\partial x} + g \frac{\partial s}{\partial x} + f u = 0 \quad \cdots \cdots (1)$$

$$\frac{\partial s}{\partial t} + \frac{\partial}{\partial x} [(h_0 + s)(u - u_0)] = 0 \quad \cdots \cdots (2)$$

境界条件を(5)式で仮定する。

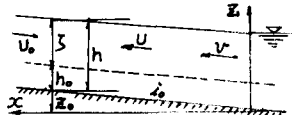
$$\left. \begin{array}{l} |s|_{x=0} = |s_1|_{x=0} + |s_2|_{x=0}, \quad |s|_{x=\infty} = 0 \\ |s_1|_{x=0} = A_1 \cos(\omega t) + A_2 \cos(2\omega t) + A_3 \cos(3\omega t) \\ |s_2|_{x=0} = B_1 \sin(\omega t) + B_2 \sin(2\omega t) + B_3 \sin(3\omega t) \end{array} \right\} \quad (5)$$

こゝで  $\omega$ ,  $t$ ,  $h_0$ ,  $u_0$  は潮汐の角振動数、時間、等流水深、水路固有流速である。

図-1 嘉手苅入江

$u$ ,  $s$  は岡本氏の解法に従って式(4)を仮定する。

$$\left. \begin{array}{l} u(x, t) = \text{Real} [s_1(x) e^{i\omega t} + s_2(x) e^{i2\omega t} + \dots] \\ s(x, t) = \text{Real} [\psi_1(x) e^{i\omega t} + \psi_2(x) e^{i2\omega t} + \dots] \end{array} \right\} \quad (4)$$



式(4)を式(1), (2)に代入し、時間に関する同次項の係数を比較すると、 $\psi$ ,

$\psi$  に関する微分方程式が得られる。また  $\psi$  が満足すべき境界条件は式(5)になる。

$$|\psi_1(x)|_{x=0} = A_1, |\psi_1(x)|_{x=\infty} = A_2, |\psi_2(x)|_{x=0} = A_3, |\psi_2(x)|_{x=\infty} = A_4 \quad \cdots \cdots (5)$$

以上の方程式から  $s_1$ ,  $u_1$ ,  $s_2$ ,  $u_2$ , ……等に関する微分方程式を解き式(4)に代入すると次式が得られる。

$$\begin{aligned} s(x, t) &= A_1 e^{-\alpha_1 x} \cos(\omega t - \theta_1 x) + B_1 e^{-\alpha_1 x} \sin(\omega t - \theta_1 x) + A_2 e^{-\alpha_2 x} \cos(2\omega t - \theta_2 x) + B_2 e^{-\alpha_2 x} \sin(2\omega t - \theta_2 x) \\ &+ Y_2(A/h_0)[A_1 e^{-\alpha_1 x} \cos(2\omega t - \theta_2 x + \theta_2) - A_1 e^{-\alpha_1 x} \cos(2\omega t - 2\theta_1 x + \theta_1)] + Y_2(B/h_0)[B_1 e^{-\alpha_1 x} \sin(2\omega t - \theta_2 x + \theta_2) \\ &- B_1 e^{-\alpha_1 x} \sin(2\omega t - 2\theta_1 x + \theta_1)] + \dots \dots \dots \quad (6) \\ u(x, t) &= Y_1/h_0 A_1 e^{-\alpha_1 x} \cos(\omega t - \theta_1 x + \theta_1) + Y_1/h_0 B_1 e^{-\alpha_1 x} \sin(\omega t - \theta_1 x + \theta_1) + Y_3(A/h_0)^2 e^{-\alpha_1 x} \cos(2\omega t - \theta_2 x + \theta_2) \\ &+ Y_3(B/h_0)^2 e^{-\alpha_1 x} \sin(2\omega t - \theta_2 x + \theta_2) - Y_4(A/h_0)^2 e^{-2\alpha_1 x} \cos(2\omega t - 2\theta_1 x + \theta_4) - Y_4(B/h_0)^2 e^{-2\alpha_1 x} \sin(2\omega t - 2\theta_1 x + \theta_4) + \dots \dots \dots \end{aligned}$$

こゝで  $\alpha$ ,  $B$ ,  $\theta$ ,  $Y$  などは  $u_0$ ,  $h_0$ ,  $f$ ,  $\omega$  により計算される。式(6)で  $A_1$ 以外を無視すると、岡本氏の解に一致する。結局、式(6)は河口の境界条件として式(5)を用い、岡本氏の解法を適用したことになる。

## 3) 潮汐変動と水路の固有流量 ( $Q$ ) の関係

式(6)で  $A_1$ 以外を無視した場合(岡本の解)に、 $s$  が  $x$  に伴って如何に減衰するかを図-3 に示した。

図-3 では水路幅を30m,  $L = 1/1600$ ,  $\pi = 0.025$ , 周期  $T = 25$  時間,  $(s_{max})_{x=0} = 0.45$ mとした。

実測値を図-4に示した。図-4 では入江橋で  $(s_{max})_{x=800} \geq 0.3$ m となる。こゝには岡本氏の理論解(図-5)と極端な差異がある。この理由は式(1)で  $f = g u_0 / C h_0$  とおいたことによると思われる。こゝで  $C$  は Chezy の係数である。即ち潮汐流に対する摩擦抵抗係数の影響を無視したことになる。従って固有流量の小さい水路では  $f = g(u - u_0) / C^2(h_0 + s)$  に於いて潮流  $u$ ,  $s$  が  $f$  に及ぼす効果を考慮する必要があると思われる。このことにつき、更に検討中である。

#### 4) 狹さく部水理計算

図-5に示す入江橋での流水の運動方程式と連続式は式(7)になる。<sup>2)</sup>

$$\left. \begin{aligned} \frac{\partial u}{\partial t} + g \left( \frac{s_b - s_a}{l} + \left\{ \frac{(f_e + f_o)}{2l} + \frac{g \eta^2}{R^{4/5}} \right\} u |u| \right) = 0 \\ Q = U \cdot B \cdot (h + s_a) = F \frac{\partial s_c}{\partial t} = \frac{\partial s_b}{\partial t} F \end{aligned} \right\} \quad (7)$$

ここで、 $s_b$ ,  $s_a$  は b 点, a 点の水面変動,  $f_e$ ,  $f_o$  は流入・流出損失係数,  $Q$  : 流量,  $B$  : 水路幅である。  $U$  を(8)式で表わすものとする。

$$U = U_1 \cos(\omega t) + U_2 \sin(\omega t) + U_3 \cos(2\omega t) - U_4 \sin(2\omega t) \quad (8)$$

$f(u) = U_1 |u|$  とし、位相差を考えて Fourier 級数展開すると

$$\begin{aligned} f(u) &= \frac{8U_1^2}{3\pi} \cos(\omega t) + \frac{8U_2^2}{3\pi} \sin(\omega t) + \frac{8U_3^2}{15\pi} \cos(2\omega t) - \frac{8U_4^2}{15\pi} \sin(2\omega t) \\ &\quad + \frac{8U_1^2}{5\pi} \cos(2\omega t) - \frac{8U_2^2}{5\pi} \sin(2\omega t) \end{aligned} \quad (9)$$

$s_a$  は平良港の潮汐を調和分解したものを使用する。すなわち

$$Y_a = h + s_a = \sum_{n=0}^{\infty} [A_n \cos(n\omega t) + B_n \sin(n\omega t)] \quad (10)$$

式(9)を式(7)に代入し、連立方程式を解くと次の微分方程式が得られる。

$$\begin{aligned} \frac{\partial^2 u}{\partial t^2} + \frac{g}{l} \left[ D_0 + D_1 \cos(\omega t) + D_2 \sin(\omega t) + D_3 \cos(2\omega t) + D_4 \sin(2\omega t) \right] u \\ + \frac{l}{g} \left[ A_1 \omega \sin(\omega t) - B_1 \omega \cos(\omega t) + 2A_2 \omega \sin(2\omega t) - 2B_2 \omega \cos(2\omega t) \right] \\ + \frac{k_1}{l} \left[ -\omega u_1^2 \sin(\omega t) - \frac{5}{3} \omega u_2^2 \sin(2\omega t) + \omega u_3^2 \cos(\omega t) - \frac{5}{3} \omega u_4^2 \cos(2\omega t) \right. \\ \left. - 2\omega u_1^2 \sin(2\omega t) - 2\omega u_2^2 \cos(2\omega t) \right] = 0 \end{aligned} \quad (11)$$

ただし、 $D_0 = BA_0/F$ ,  $D_1 = BA_1/F$ ,  $D_2 = BB_1/F$ ,  $D_3 = BA_2/F$ ,  $D_4 = BB_2/F$  である。ここで  $F$  は遊泳池水面積である。式(11)を解くと次の連立方程式が得られる。

$$\left. \begin{aligned} (D_0 g/l - \omega^2 - g D_3/l) U_1 + 2g D_2 U_2/l - g D_1 U_3/l - 2g D_4 U_4/l + B_1 \omega g/l = 0 \\ 2g D_4 U_1/l + (g D_3/l - \omega^2 + g D_0/l) U_2 + g D_2 U_3/l - 2g D_1 U_4/l + g A_1 \omega/l = 0 \\ g D_1 U_1/l - g D_2 U_2/l + (g D_0/l - 4\omega^2) U_3 - 2g D_4 \omega/l = 0 \\ g D_2 U_1/l + g D_1 U_2/l + (4\omega^2 - g D_0/l) U_4 + 2g A_2 \omega/l = 0 \end{aligned} \right\} \quad (12)$$

式(12)の解を式(8)に代入した結果を図-6に示した。

ただし、 $B = 5m$ ,  $l = 4.5m$ ,  $\omega = 6.98 \times 10^{-5} (\text{rad/sec})$  とおいた。

図-6には入江橋に於ける実測値と式(8)による計算結果が示してある。

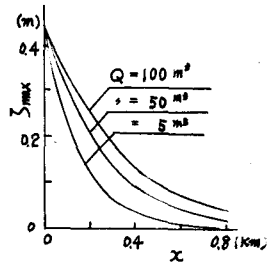


図-5：潮汐の減衰

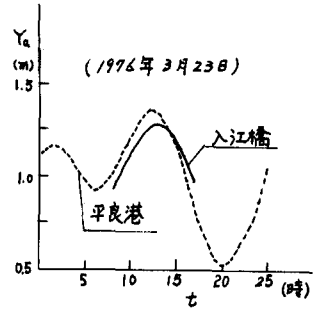


図-4 入江橋と平良港の潮汐変動

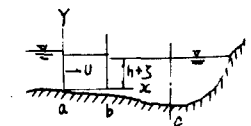
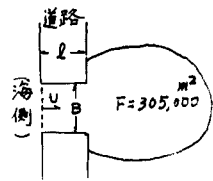


図-5 入江橋水路部(略図)

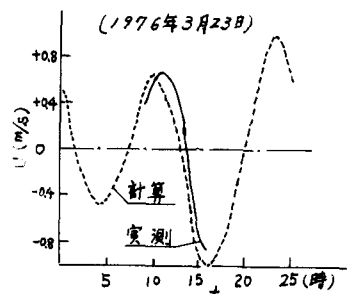


図-6 入江橋での流速

1) 岡本元治郎；応用水利学，中Ⅱ，P 285～286 玄善

2) 河野二夫他；入江狭さく感潮水路部の水理特性；土木学会第51回